

水冷スラグの粒子形状、粒度構成および溶融金属粒子について

原 雄 根本久志 堤 克裕 伊藤康子

1. はじめに

溶融スラグ利用促進のため、2002年7月20日にコンクリート用骨材標準情報（TR A 0016）¹⁾、道路用骨材標準情報（TR A 0017）²⁾が公表され、JIS化に向けた準備が進められている。標準情報ではスラグの品質規格として、外観、有害物質の溶出、金属鉄、骨材品質（粒度・絶乾密度・吸水率・すり減り減量等）が規定されている。

そこで筆者らは、県内3施設において定格運転時に製造された灰溶融水冷スラグを対象として、品質規格の一部である粒度・外観（粒子形状）・金属鉄などについて調査し、定性的記載を行った。なお、記載にあたっては溶融炉から出津するものを溶融生成物とし、溶融生成物は溶融スラグと溶融金属からなるものとした。

2. 供試試料および記載方法と結果

2・1 供試試料

3施設（A施設、B施設、C施設）の表面溶融炉において製造されたものを対象試料とした。それらをAスラグ、Bスラグ、Cスラグと呼ぶ。AおよびBスラグはストーカ炉主灰を磁選したものを原料とし、Cスラグは磁選後の主灰／飛灰混合灰（混合比率は4：1）を原料とするものであった。A施設の磁選工程は3段階で、B施設とC施設の磁選工程は1段階で実施されていた。各施設におけるスラグ製造条件は、表1に示した。

表1 対象スラグの溶融条件

	スラグA	スラグB	スラグC
溶融原料	主灰	主灰	主灰・飛灰
原料前処理	3段磁選	1段磁選	1段磁選
溶融能力	26t/d	10.68t/d	13t/d
溶融温度	1350°C	1350°C	1300°C
出津口温度	1360°C	1350°C	1300°C
落下距離	215cm	300cm	380cm
水冷水温	50°C	60°C	50~55°C

落下距離：出津口から水冷槽までの距離

試料は定格運転に達した後、Aスラグは72時間後、Bスラグは16時間後、Cスラグは40時間後に採取した。採取後、風乾ないし恒温槽内で乾燥し、以下の実験に供した。

2・2 ふるい分け試験

試料のふるい分けは、骨材のふるい分け試験法（JIS A 1102）にしたがった。ふるい分け試験結果を表2に示した。AとCスラグの粒度構成は似ており、Bスラグと比べると粗粒分が多い傾向であった。Aスラグでは0.6mm以上が96%、Bスラグでは93%、Cスラグでは98%であった。AとCスラグともに2.36～4.75mmの粒度階が41.3%、40.1%というように最多構成率を占めた。Bスラグでは1.18～2.36mmの粒度階が47.4%で最多構成率を占めた。A施設の溶融温度、落下距離ともにB施設のそれに近いが、Aスラグの粒度構成はCスラグのそれに近かった。

表2 JIS A 1102によるスラグのふるい分け試験結果

	(mm)	<0.15	0.15～0.30	0.60～1.18	2.36～4.75	9.5<
A溶融物	スラグ	7.2	12.6	33.0	123.3	563.8
	金属粒	—	0.19	0.69	2.18	5.72
	アルミ粒	—	—	—	0.06	0.63
B溶融物	スラグ	7.0	13.8	47.4	159.6	445.1
	金属粒	—	0.04	0.64	4.86	10.32
	アルミ粒	—	—	—	0.04	0.15
C溶融物	スラグ	0.8	1.6	16.0	92.1	286.9
	金属粒	—	—	—	0.02	0.02
	アルミ粒	—	—	0.06	0.05	0.16

2・3 粒子形状の観察

ふるい分け試験後、粒度階毎に実体顕微鏡下において粒子形状を観察し、分類した。水冷スラグの形状は、黒色角礫状粒子、白色角礫状粒子、球状粒子、棒ないし針状粒子、扁平状粒子の5つに分類できた（図1）。黒色角礫状粒子は不規則な直方体ないし立方体状を呈し、表面は凹凸が少なく平滑なものが多数を占めた。白色角礫状粒子の形状は黒色角礫状粒子と同じであり、一部に黒色物が付着していた。球状粒子は橢円体状お

より真球状を呈し、粒径が小さくなるにしたがって真球状を呈するものが多くなる傾向を示した。棒ないし針状粒子は直状およびカールしたものがあった。扁平状粒子は粒径が大きい場合にはタマネギの皮状を、粒径が小さい場合は平板状を呈する粒子が多くあった。



図2 スラグ構成粒子の粒子形状 A;黒色角礫粒子 B;白色角礫粒子
C;球形粒子 D;針形粒子 E;偏平形粒子 ケースレバー:2.5mm

2・4 溶融金属の分離

溶融金属粒は、実体顕微鏡下における粒度階毎のスラグ粒子観察時に肉眼により分離した。溶融金属粒は球状ないし塊状を呈し、粒径が小さくなるにしたがって真球状に近い形状を呈した(図2)。

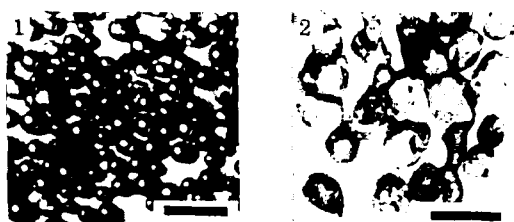


図3 溶融金属粒 1; 鉄を中心とした粒子
2; アルミニウム塊 スケールバー:2.5mm

A溶融生成物では溶融生成物に占める溶融金属粒の割合は3.6%であり、アルミニウム粒はそのうちの13%であった。B溶融生成物では溶融金属粒が溶融生成物は2.1%であり、アルミニウム粒はそのうちの1%以下であった。C溶融生成物にはほとんど溶融金属粒は含まれず、0.1%以下であった。

溶融金属粒は原料灰の成分に影響されるとされるところから³⁾、原料灰中の金属元素含有量の反映と考えられる。

4.まとめ

(1) 水冷スラグは黒色角礫状粒子、白色角礫状粒子、球状粒子、棒ないし針状粒子および偏平粒子から構成されていた。

(2) 各スラグの粒度構成において、AおよびCスラグはほぼ同じ傾向を示し、Bスラグに比べて粗粒分が多くかった。AおよびCスラグでは2.36～4.75mmの粒子が最多を占め、Bスラグでは1.18～2.36mmの粒子が最多を占めた。

(3) A溶融生成物では溶融金属粒が溶融生成物に占める割合は3.6%であり、アルミニウム粒はそのうちの13%であった。B溶融生成物では溶融金属粒が溶融生成物は2.1%であり、アルミニウム粒はそのうちの1%以下であった。C溶融生成物にはほとんど溶融金属粒は含まれず、0.1%以下であった。

今後の課題として、水冷スラグの粒径の起源を明らかにすることが必要である。

参考文献

- 日本工業標準調査会 標準部会：一般廃棄物、下水汚泥等の溶融固化物を用いたコンクリート用骨材（コンクリート用溶融スラグ細骨材）TR A 0016、日本規格協会(2002)
- 日本工業標準調査会 標準部会：一般廃棄物、下水汚泥等の溶融固化物を用いた道路用細骨材（道路用溶融スラグ細骨材）TR A0017、日本規格協会(2002)
- 加藤孝太郎、鯨島良二、古角雅行：窒素プラズマによる特別管理一般廃棄物の溶融処理、第7回廃棄物学会研究発表会講演論文集、pp.445-447(1996)